

# Starkniederschlagshöhen und -spenden gemäß KOSTRA-DWD-2020

## Rasterfeld 206125

(Zeile 206, Spalte 125)

### Regenspende und Bemessungsniederschlagswerte in Abhängigkeit von Wiederkehrzeit T und Dauerstufe D

| Dauerstufe D |     | Wiederkehrzeit T |            |      |            |      |            |       |            |       |            |       |            |       |            |       |            |       |            |
|--------------|-----|------------------|------------|------|------------|------|------------|-------|------------|-------|------------|-------|------------|-------|------------|-------|------------|-------|------------|
|              |     | 1 a              |            | 2 a  |            | 3 a  |            | 5 a   |            | 10 a  |            | 20 a  |            | 30 a  |            | 50 a  |            | 100 a |            |
| min          | Std | mm               | l / (s ha) | mm   | l / (s ha) | mm   | l / (s ha) | mm    | l / (s ha) | mm    | l / (s ha) | mm    | l / (s ha) | mm    | l / (s ha) | mm    | l / (s ha) | mm    | l / (s ha) |
| 5            |     | 7,6              | 253,3      | 9,2  | 306,7      | 10,3 | 343,3      | 11,6  | 386,7      | 13,5  | 450,0      | 15,5  | 516,7      | 16,8  | 560,0      | 18,5  | 616,7      | 21,0  | 700,0      |
| 10           |     | 10,0             | 166,7      | 12,2 | 203,3      | 13,5 | 225,0      | 15,3  | 255,0      | 17,8  | 296,7      | 20,5  | 341,7      | 22,2  | 370,0      | 24,4  | 406,7      | 27,6  | 460,0      |
| 15           |     | 11,5             | 127,8      | 14,0 | 155,6      | 15,6 | 173,3      | 17,6  | 195,6      | 20,5  | 227,8      | 23,5  | 261,1      | 25,5  | 283,3      | 28,1  | 312,2      | 31,8  | 353,3      |
| 20           |     | 12,7             | 105,8      | 15,4 | 128,3      | 17,1 | 142,5      | 19,3  | 160,8      | 22,5  | 187,5      | 25,8  | 215,0      | 28,0  | 233,3      | 30,8  | 256,7      | 34,9  | 290,8      |
| 30           |     | 14,3             | 79,4       | 17,4 | 96,7       | 19,4 | 107,8      | 21,9  | 121,7      | 25,5  | 141,7      | 29,2  | 162,2      | 31,7  | 176,1      | 34,9  | 193,9      | 39,5  | 219,4      |
| 45           |     | 16,1             | 59,6       | 19,6 | 72,6       | 21,8 | 80,7       | 24,6  | 91,1       | 28,7  | 106,3      | 32,9  | 121,9      | 35,7  | 132,2      | 39,3  | 145,6      | 44,4  | 164,4      |
| 60           | 1   | 17,5             | 48,6       | 21,3 | 59,2       | 23,6 | 65,6       | 26,7  | 74,2       | 31,1  | 86,4       | 35,7  | 99,2       | 38,7  | 107,5      | 42,6  | 118,3      | 48,2  | 133,9      |
| 90           | 1,5 | 19,6             | 36,3       | 23,8 | 44,1       | 26,4 | 48,9       | 29,8  | 55,2       | 34,8  | 64,4       | 39,9  | 73,9       | 43,2  | 80,0       | 47,6  | 88,1       | 53,9  | 99,8       |
| 120          | 2   | 21,1             | 29,3       | 25,7 | 35,7       | 28,5 | 39,6       | 32,2  | 44,7       | 37,6  | 52,2       | 43,1  | 59,9       | 46,7  | 64,9       | 51,4  | 71,4       | 58,2  | 80,8       |
| 180          | 3   | 23,6             | 21,9       | 28,6 | 26,5       | 31,8 | 29,4       | 35,9  | 33,2       | 41,9  | 38,8       | 48,0  | 44,4       | 52,1  | 48,2       | 57,3  | 53,1       | 64,9  | 60,1       |
| 240          | 4   | 25,4             | 17,6       | 30,9 | 21,5       | 34,3 | 23,8       | 38,8  | 26,9       | 45,2  | 31,4       | 51,8  | 36,0       | 56,2  | 39,0       | 61,9  | 43,0       | 70,0  | 48,6       |
| 360          | 6   | 28,3             | 13,1       | 34,4 | 15,9       | 38,2 | 17,7       | 43,1  | 20,0       | 50,3  | 23,3       | 57,7  | 26,7       | 62,5  | 28,9       | 68,8  | 31,9       | 77,9  | 36,1       |
| 540          | 9   | 31,4             | 9,7        | 38,2 | 11,8       | 42,4 | 13,1       | 47,9  | 14,8       | 55,9  | 17,3       | 64,1  | 19,8       | 69,5  | 21,5       | 76,5  | 23,6       | 86,6  | 26,7       |
| 720          | 12  | 33,9             | 7,8        | 41,2 | 9,5        | 45,7 | 10,6       | 51,7  | 12,0       | 60,3  | 14,0       | 69,1  | 16,0       | 74,9  | 17,3       | 82,5  | 19,1       | 93,3  | 21,6       |
| 1080         | 18  | 37,7             | 5,8        | 45,8 | 7,1        | 50,8 | 7,8        | 57,4  | 8,9        | 67,0  | 10,3       | 76,8  | 11,9       | 83,2  | 12,8       | 91,6  | 14,1       | 103,7 | 16,0       |
| 1440         | 24  | 40,6             | 4,7        | 49,3 | 5,7        | 54,8 | 6,3        | 61,9  | 7,2        | 72,1  | 8,3        | 82,7  | 9,6        | 89,7  | 10,4       | 98,7  | 11,4       | 111,8 | 12,9       |
| 2880         | 48  | 48,6             | 2,8        | 59,1 | 3,4        | 65,5 | 3,8        | 74,1  | 4,3        | 86,4  | 5,0        | 99,0  | 5,7        | 107,3 | 6,2        | 118,2 | 6,8        | 133,8 | 7,7        |
| 4320         | 72  | 53,9             | 2,1        | 65,6 | 2,5        | 72,8 | 2,8        | 82,3  | 3,2        | 95,9  | 3,7        | 110,0 | 4,2        | 119,2 | 4,6        | 131,3 | 5,1        | 148,6 | 5,7        |
| 5760         | 96  | 58,1             | 1,7        | 70,7 | 2,0        | 78,4 | 2,3        | 88,6  | 2,6        | 103,3 | 3,0        | 118,5 | 3,4        | 128,4 | 3,7        | 141,4 | 4,1        | 160,1 | 4,6        |
| 7200         | 120 | 61,6             | 1,4        | 74,9 | 1,7        | 83,1 | 1,9        | 93,9  | 2,2        | 109,5 | 2,5        | 125,5 | 2,9        | 136,1 | 3,2        | 149,8 | 3,5        | 169,6 | 3,9        |
| 8640         | 144 | 64,6             | 1,2        | 78,5 | 1,5        | 87,1 | 1,7        | 98,4  | 1,9        | 114,8 | 2,2        | 131,6 | 2,5        | 142,6 | 2,8        | 157,1 | 3,0        | 177,8 | 3,4        |
| 10080        | 168 | 67,2             | 1,1        | 81,7 | 1,4        | 90,7 | 1,5        | 102,5 | 1,7        | 119,4 | 2,0        | 137,0 | 2,3        | 148,4 | 2,5        | 163,5 | 2,7        | 185,0 | 3,1        |

# Starkniederschlagshöhen und -spenden gemäß KOSTRA-DWD-2020

## Rasterfeld 206125

(Zeile 206, Spalte 125)

### Örtliche Unsicherheiten in Abhängigkeit von Wiederkehrzeit T und Dauerstufe D

| Dauerstufe D |     | Wiederkehrzeit T |     |     |     |      |      |      |      |       |
|--------------|-----|------------------|-----|-----|-----|------|------|------|------|-------|
|              |     | 1 a              | 2 a | 3 a | 5 a | 10 a | 20 a | 30 a | 50 a | 100 a |
| min          | Std | ± %              | ± % | ± % | ± % | ± %  | ± %  | ± %  | ± %  | ± %   |
| 5            |     | 14               | 15  | 16  | 16  | 17   | 17   | 18   | 18   | 19    |
| 10           |     | 19               | 20  | 20  | 21  | 22   | 22   | 23   | 23   | 24    |
| 15           |     | 21               | 22  | 23  | 23  | 24   | 25   | 25   | 25   | 26    |
| 20           |     | 22               | 23  | 24  | 24  | 25   | 26   | 26   | 26   | 27    |
| 30           |     | 22               | 24  | 24  | 25  | 26   | 27   | 27   | 27   | 28    |
| 45           |     | 22               | 24  | 24  | 25  | 26   | 27   | 27   | 27   | 28    |
| 60           | 1   | 22               | 23  | 24  | 25  | 26   | 26   | 27   | 27   | 28    |
| 90           | 1,5 | 21               | 23  | 23  | 24  | 25   | 26   | 26   | 26   | 27    |
| 120          | 2   | 20               | 22  | 23  | 23  | 24   | 25   | 25   | 26   | 26    |
| 180          | 3   | 19               | 21  | 21  | 22  | 23   | 23   | 24   | 24   | 25    |
| 240          | 4   | 18               | 20  | 20  | 21  | 22   | 22   | 23   | 23   | 24    |
| 360          | 6   | 17               | 18  | 19  | 20  | 20   | 21   | 21   | 22   | 22    |
| 540          | 9   | 16               | 17  | 18  | 18  | 19   | 20   | 20   | 20   | 21    |
| 720          | 12  | 15               | 16  | 17  | 17  | 18   | 19   | 19   | 19   | 20    |
| 1080         | 18  | 14               | 15  | 16  | 16  | 17   | 17   | 18   | 18   | 18    |
| 1440         | 24  | 14               | 15  | 15  | 15  | 16   | 17   | 17   | 17   | 18    |
| 2880         | 48  | 13               | 14  | 14  | 14  | 15   | 15   | 16   | 16   | 16    |
| 4320         | 72  | 14               | 14  | 14  | 14  | 15   | 15   | 15   | 15   | 16    |
| 5760         | 96  | 14               | 14  | 14  | 14  | 14   | 15   | 15   | 15   | 15    |
| 7200         | 120 | 15               | 14  | 14  | 14  | 15   | 15   | 15   | 15   | 15    |
| 8640         | 144 | 15               | 15  | 15  | 15  | 15   | 15   | 15   | 15   | 15    |
| 10080        | 168 | 15               | 15  | 15  | 15  | 15   | 15   | 15   | 15   | 15    |

### Parameter für abweichende T und D

#### Lokationsparameter $\xi$ (Xi)

17,85986663

#### Skalenparameter $\alpha$ (Alpha)

5,35777522

#### Formparameter $\kappa$ (Kappa)

-0,1

#### 1. Koutsoyiannis-Parameter $\theta$ (Theta)

0,02728415

#### 2. Koutsoyiannis-Parameter $\eta$ (Eta)

0,74129385

Parameter für dauerstufenübergreifende Extremwertschätzung nach KOUTSOYIANNIS et al. 1998.

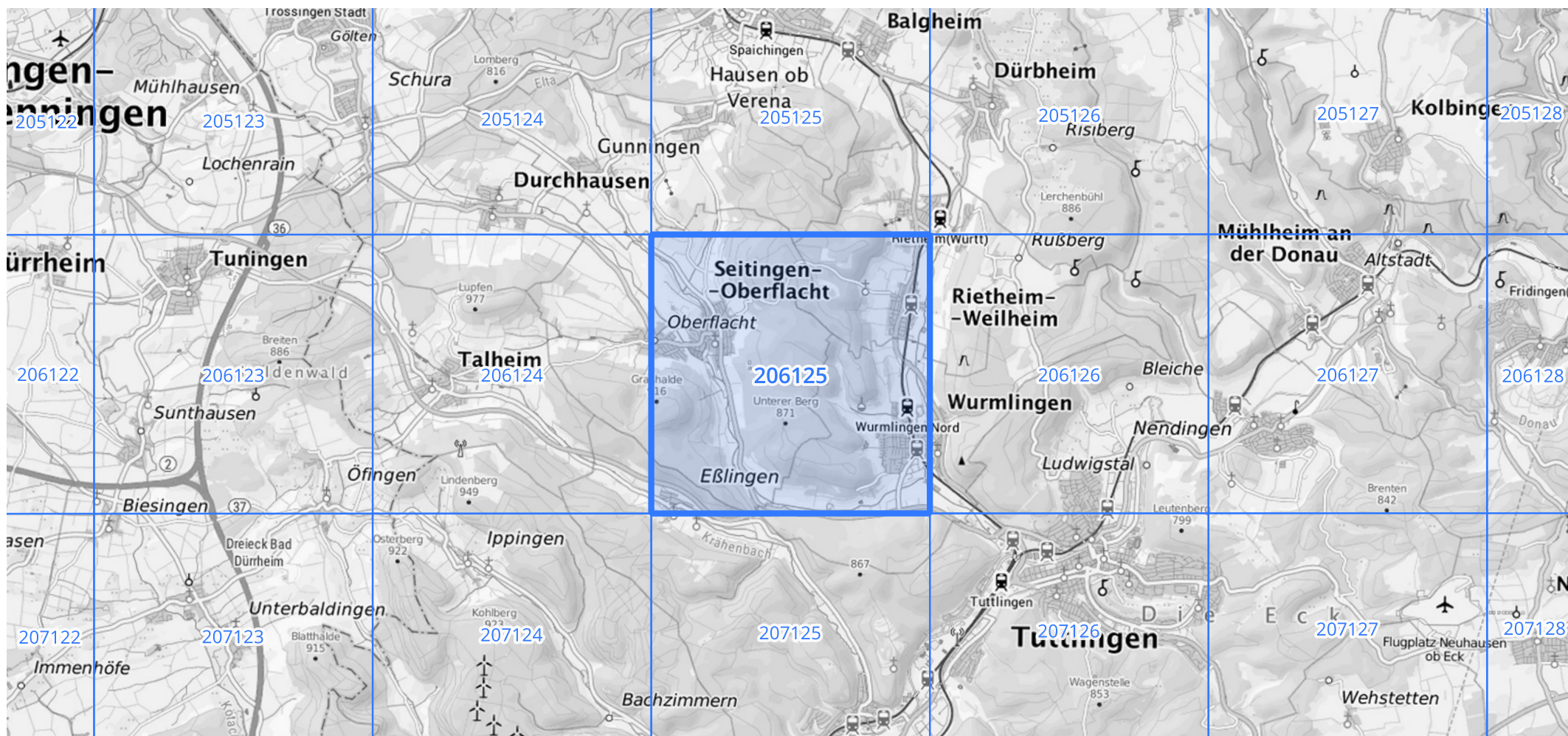
Siehe auch Anwendungshilfe zu KOSTRA-DWD-2020 des Deutschen Wetterdienstes.

## Starkniederschlagshöhen und -spenden gemäß KOSTRA-DWD-2020

## Rasterfeld 206125

(Zeile 206, Spalte 125)

Übersichtskarte des Rasterfeldes 206125, M 1 : 100 000



Quelle Rasterdaten: KOSTRA-DWD-2020 des Deutschen Wetterdienstes, Stand 12/2022.

Seite 3 von 3

Kartendarstellung: © Bundesamt für Kartographie und Geodäsie (2023), Datenquellen: [https://sgx.geodatenzentrum.de/web\\_public/gdz/datenquellen/Datenquellen\\_TopPlusOpen.html](https://sgx.geodatenzentrum.de/web_public/gdz/datenquellen/Datenquellen_TopPlusOpen.html)

Für die Richtigkeit und Aktualität der Angaben wird keine Gewähr übernommen. Erstellt 01/2023.